

## سنگنگاری و زمین‌شیمی توده‌های آتشفشاری میو-پلیوسن شمال شهر بابک، با نگرشی بر مagma-تیسم آداسیتی نئوژن

غلامرضا قدموی \*، سارا عبادی و محمد پوستی

گروه زمین‌شناسی، دانشکده علوم، دانشگاه هرمزگان، بندرعباس، ایران

### چکیده

سنگ‌های آتشفشاری میو-پلیوسن شمال شهر بابک (توده‌های تریشکوه، میدوک و سارا) در استان کرمان بخشی از کمربندهای ارومیه-دختر است که از نوع آندزیت و داسیت هستند. این سنگ‌ها دارای بافت پوروفیری و درشت‌بلورها شامل: پلاژیوکلاز، سانیدین، آمفیبول، بیوتیت و کوارتز است. بر اساس بررسی داده‌های زمین‌شیمیایی، این سنگ‌ها مجموعه‌ای از سنگ‌های آهکی-قلیایی پ TASIM متوسط تا پ TASIM بالا را تشکیل داده‌اند و از عنصر REE و LILE غنی و از Nb و Ti تهی شده‌اند. در نمودارهای بهنجار شده با کندریت دارای شیب ملایمی از عناصر نادر خاکی سبک به سمت عناصر نادر خاکی سنگین و بدون بی‌هنجاری منفی اوروپیوم هستند و در یک محیط فرورانشی متعلق به حاشیه فعال قاره‌ای شکل گرفته‌اند. این سنگ‌ها حاوی مقادیر بالای La/Yb, Sr/Y, Sr/SiO<sub>2</sub>, MgO و مقادیر پایینتر Yb و Y نسبت به سنگ‌های آتشفشاری آهکی-قلیایی معمولی هستند و ویژگی‌های آداسیتی پ رسیلیس را دارد. تهی‌شدگی از عناصر نادر خاکی سنگین و Y شان‌دهنده حضور گارنت و هورنبلند در سنگ منشأ است. بر اساس داده‌های بالا منشأ این سنگ‌ها شاید گارنت-آمفیبولیت باشد که در اثر فرورانش لیتوسفر اقیانوسی نئوتیس به زیر پهنه ایران مرکزی حاصل شده است.

واژه‌های کلیدی: زمین‌شیمی، داسیت-آندزیت، میو-پلیوسن، آداسیت، شهر بابک، کمربندهای ارومیه-دختر

### مقدمه

ماگمای ارومیه-دختر را به فرورانش نئوتیس به زیر خردۀ قاره ایران مرکزی وابسته می‌دانند (Berberian and Beberian., 1981) و معتقد هستند برخورد صفحه عربی با ایران مرکزی در ائوسن بالایی-میوسن پایانی انجام شده است (Agard *et al.*, 2011). برای توجیه ماگما-تیسم در کمربندهای ارومیه-دختر سازوکارهای مختلفی

کمربندهای ارومیه-دختر با روند شمال‌غربی-جنوب‌شرقی به موازات پهنه زاگرس و سنندج-سیرجان با پهنای ۵۰ تا ۱۰۰ کیلومتر و طول ۱۸۰۰ کیلومتر از شمال‌غربی به جنوب‌شرقی کشیده شده است (Alavi, 1994).

بسیاری از زمین‌شناسان ماهیت سنگ‌های

### زمین‌شناسی منطقه

منطقه بررسی شده در جنوب‌شرق کمربند ماقمایی ارومیه-دختر و در استان کرمان قرار دارد و از طرفی، بخشی از نوار ماقمایی دهـج-ساردوئیه است. طول نوار ماقمایی دهـج-ساردوئیه در استان کرمان بیش از ۵۰۰ کیلومتر و عرض آن حدود ۹۰ کیلومتر است (شکل ۱). منطقه مورد بررسی در محدوده طول‌های جغرافیایی  $55^{\circ}00'$  و  $55^{\circ}15'$  و عرض‌های جغرافیایی  $30^{\circ}30'$  و  $30^{\circ}15'$  شمال شهر بابک و شرق آتشفسان مزاحم واقع شده است. مهم‌ترین سنگ‌های ماقمایی تشکیل دهنده نوار دهـج-ساردوئیه مربوط به ولکانیک‌های ائوسن و در درجه بعدی ماقماتیسم نئوژن است. مهم‌ترین فعالیت ماقمایی نئوژن، تشکیل توده‌های نفوذی الیگو-میوسن و گنبدهای آتشفسانی با ترکیب داسیت-آندریتی به سن میو-پلیوسن است (Ghadami *et al.*, 2008). فعالیت‌های آتشفسانی نئوژن در شمال شهر بابک به سه گروه دهـج، مزاحم و آج تقسیم‌بندی شده است (Djokovic *et al.*, 1973) سنگ‌های منطقه مورد مطالعه شامل: توده‌های ولکانیک و سابولکانیک داسیت-آندریتی از گروه دهـج است که به صورت گدازه یا گنبدهای داسیت-آندریتی سنگ‌های با سن مختلف از جمله ولکانیک‌های ائوسن را قطع کرده و به سطح زمین رسیده‌اند و تشکیل ارتفاعات بلند منطقه را داده است (شکل ۲ و ۳).

### روش انجام پژوهش

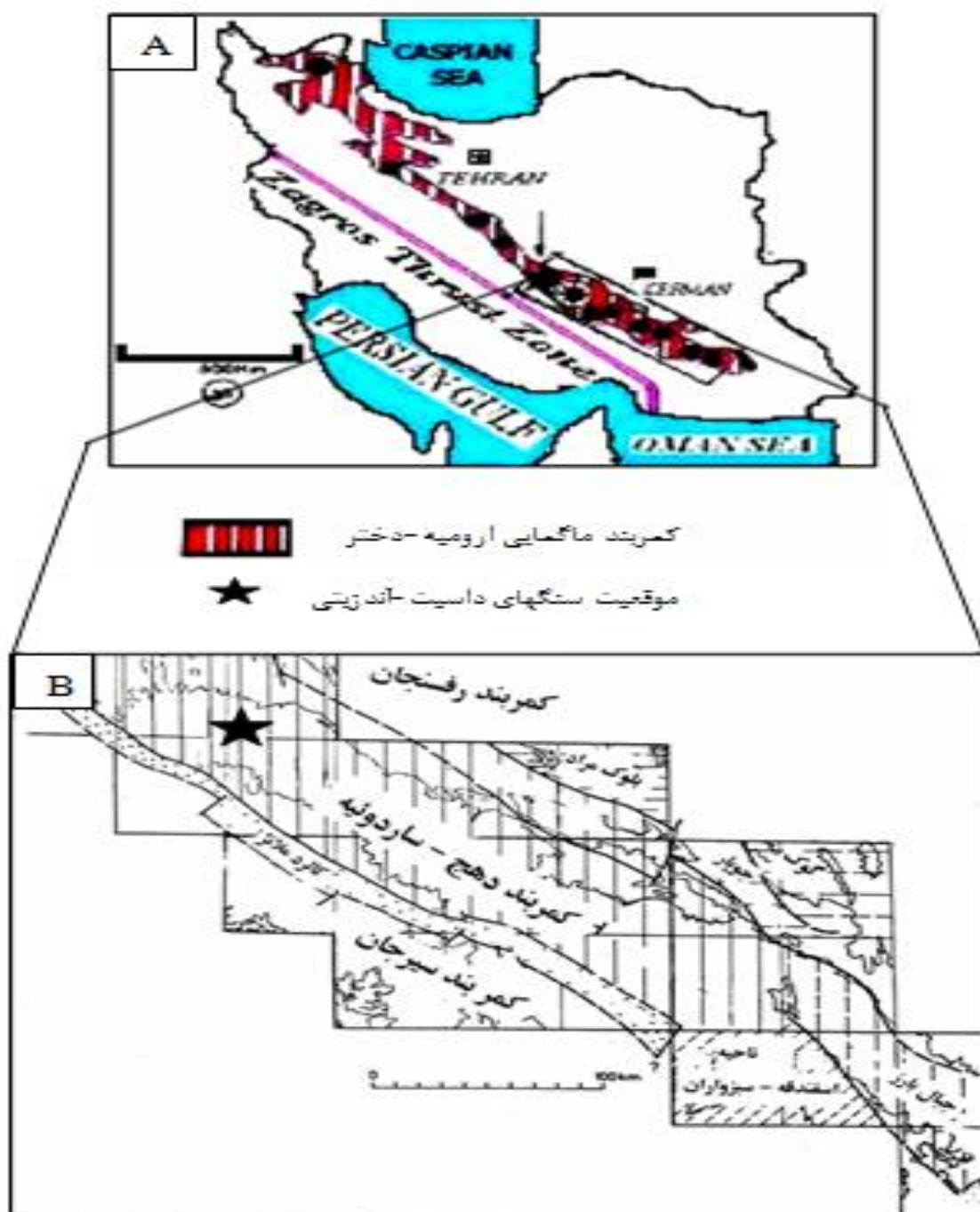
پس از بررسی‌های صحرایی و نمونه‌برداری، از نمونه‌های برداشت شده بیش از ۱۰۰ مقطع نازک تهیه و مطالعه شد. سپس، نمونه‌های با کمترین دگرسانی که نماینده کل سنگ‌های منطقه بود، برای تجزیه شیمیایی انتخاب و به شرکت زرآزما

پیشنهاد شده است که از آن جمله می‌توان به این موارد اشاره نمود: ذوب قطعه فرورانده، ذوب پوسته پایینی در اثر نفوذ ماقمایی گوشته‌ای، ذوب بخشی بخش‌های پایینی پوسته که به داخل گوشته فرو افتاده‌اند و ذوب گوه گوشته‌ای که در اثر شاره‌های محیط فرورانش دستخوش دگرنهادی شده است (Annen *et al.*, 2006; Keskin, 2003). یافته‌های به دست آمده توسط برخی از پژوهشگران درباره ماقماتیسم پس از برخورد این کمربند ماقمایی نیز نشان می‌دهد که ذوب پوسته اقیانوسی فرورانده در مناطقی از این پهنه در عمق زیاد تولید ماقمای آداسیتی کرده است (Jahangiri, 2007). Omrani *et al.*, 2008; Ghadami *et al.*, 2008 هرچند درباره زمان برخورد صفحه عربی با ایران مرکزی اتفاق نظر وجود ندارد با این وجود، فعالیت ماقمایی پس از برخورد که از اوخر میوسن شروع شد تا کواترنر ادامه یافته است (Ghasemi and Talbot, 2005). بررسی سنگ‌های ماقمایی این بخش از کمربند ماقمایی ارومیه-دختر می‌تواند روزنه‌ای مفید به درک فرآیندهای درگیر در ذوب پوسته و گوشته در مناطق فرورانش باشد.

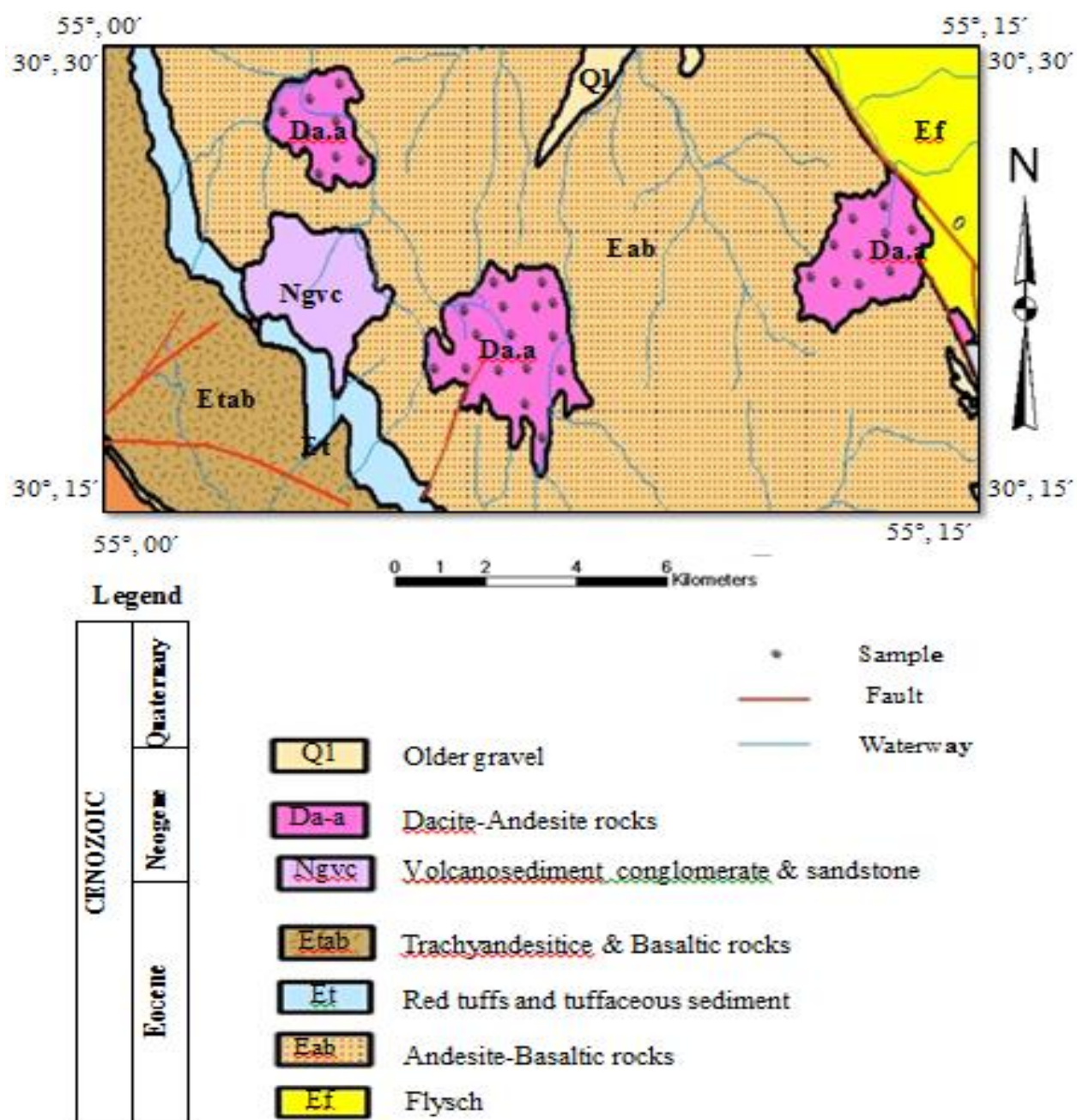
در این پژوهش توده‌های ولکانیکی مدور، تریشکوه و شمال کوه سارا به سن میو-پلیوسن واقع در شمال شهر بابک و غرب آتشفسان مزاحم مورد بررسی بیشتری قرار گرفته‌اند. مشاهده ویژگی‌های آداسیتی در سنگ‌های ماقمایی میو-پلیوسن (نئوژن) شمال شهر بابک و غرب آتشفسان مزاحم لزوم توجه هر چه بیشتر به خاستگاه و علل رخداد ماقماتیسم در منطقه و تعیین جایگاه زمین‌ساختی رخداد آن را ضروری کرده است. بنابراین، با اتکا به یافته‌های جدید صحرایی، سنگنگاری و زمین‌شیمی توده‌های بالا، خاستگاه دقیق این سنگ‌ها مورد بررسی و تحلیل قرار گرفته است.

جدول شماره ۱ آورده شده است. برای ترسیم نقشه از نرم‌افزار GIS و برای تجزیه و تحلیل داده‌های زمین‌شیمیایی از نرم‌افزارهای زمین‌شناسی Igpet و Minpet استفاده شد.

فرستاده شد. تجزیه اکسیدهای اصلی با روش ICP-ME در ایران و عناصر فرعی و کمیاب با روش ICP-MS در استرالیا انجام گرفته است که نتایج آن در



شکل ۱-۱ (A) موقعیت نوار ماغمایی دهگ-ساردوئیه و سنگ‌های داسیت-آندزیتی میو-پلیوسن شمال شهر بابک در ایران؛ (B) تقسیمات زمین‌شناسی ناحیه کرمان و موقعیت سنگ‌های داسیت-آندزیتی میو-پلیوسن شمال شهر بابک (Djokovic et al., 1973).



شکل ۲- نقشه زمین‌شناسی توده‌های داسیت-آنزیتی تریشکوه، میدوک و شمال کوه سارا واقع در شمال شهر بابک (اقتباس از نقشه زمین‌شناسی ۱:۱۰۰۰۰۰ Djokovic et al., 1973).

(شکل ۳). مطالعات دقیق پتروگرافی نشان داد که این سنگ‌ها دارای بافت هیالوپورفیری، پورفیری و تراکیتی پورفیری هستند. درشت‌بلورها در هر دو دسته سنگ‌ها شامل: پلاژیوکلاز، سانیدین، آمفیبیول، بیوتیت و کوارتز است که درون زمینه‌ای

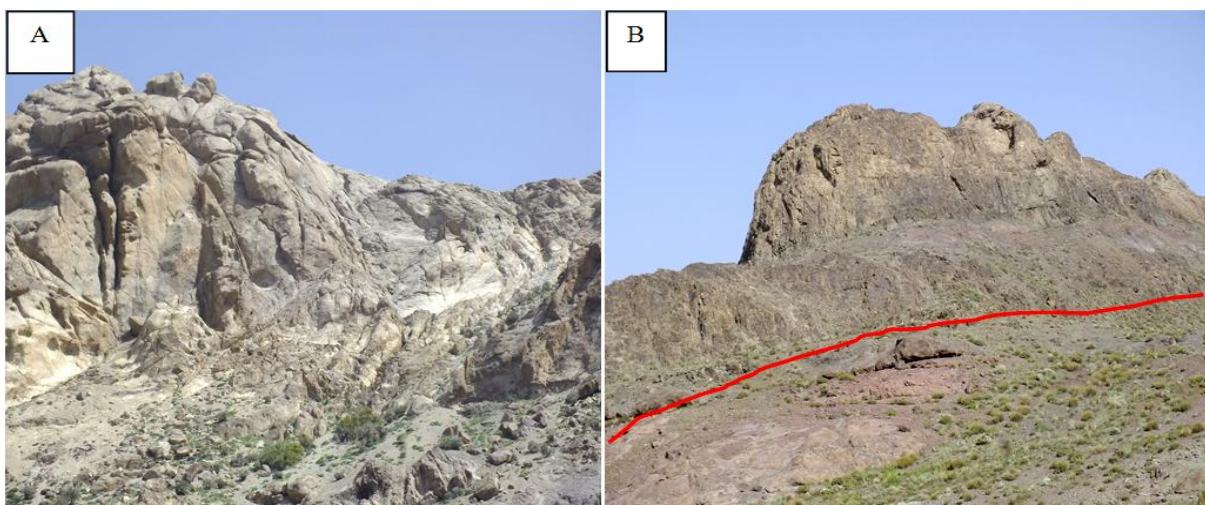
**پتروگرافی**  
سنگ‌های مورد بررسی شامل: آندزیت و داسیت با برتری داسیت است. داسیت‌ها بیشتر به صورت گنبد و سنگ‌های آندزیتی در منطقه مورد مطالعه اغلب به صورت جریان گدازه مشاهده می‌شود

دارد و معمولاً اپاسیتیزه یا سوخته‌اند (شکل C-۴). مهم‌ترین ویژگی‌های میکروسکوپی کانی‌های تشکیل‌دهنده سنگ‌های داسیت-آندزیتی منطقه مطالعه شده بافت‌های غربالی، بر هم‌رشدی و ساختار منطقه‌ای پلاژیوکلازها، اپاسیتیزه شدن کانی‌های مافیک و خوردگی خلیج مانند در کوارتز است (شکل C-۴ و D).

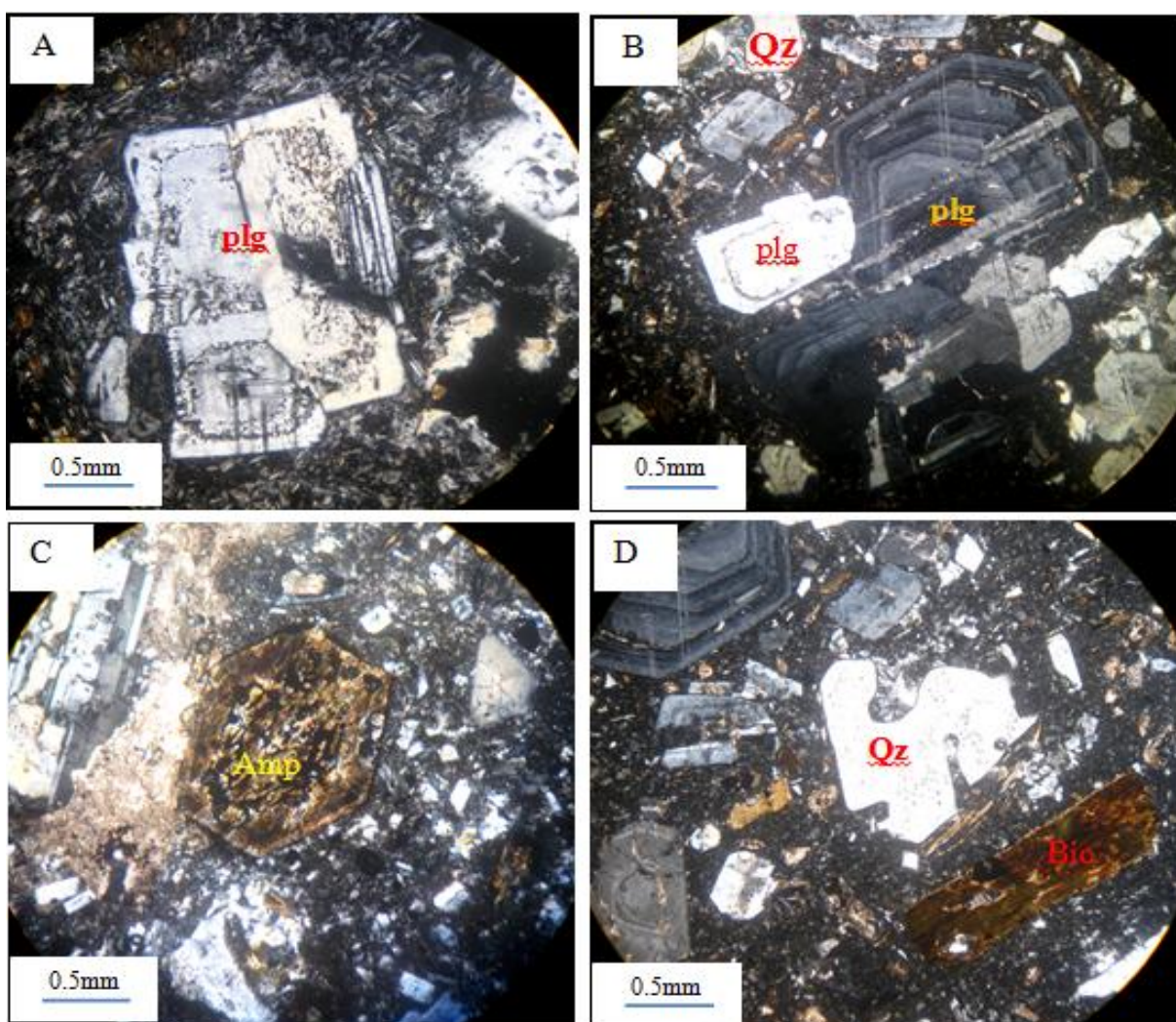
ویژگی‌های بافتی بالا می‌تواند ناشی از تغییر ترکیب ماقما در اثر آلایش و هضم مواد خارجی (سنگ‌های میزبان)، کاهش فشار حاکم بر ماقما در اثر بالا آمدن آن، افزایش فشار بخار آب در اثر صعود ماقما و جدایش آب در آن به صورت یک فاز مجزا، افزایش دمای ماقما در نتیجه ورود یک ماقمای داغ‌تر به درون مخزن یا افزایش دمای آن در اثر خروج ماقما و اکسایش و شعله‌ور شدن آن پس از رسیدن به سطح زمین باشد (Gill, 1981). با توجه به مطالعات پتروگرافی، مهم‌ترین دلایل ایجاد ویژگی‌های بالا کاهش فشار حاکم بر ماقما در اثر بالا آمدن آن و افزایش دمای ماقما در اثر خروج ماقما و رسیدن به سطح زمین است.

مخفی‌بلور تا ریزبلور قرار دارد. در آندزیتها، پلاژیوکلاز اصلی‌ترین کانی روشن است که حدود ۳۰ تا ۵۰ درصد فنوکریست‌ها را تشکیل می‌دهد و به صورت درشت‌بلور و میکروولیت دیده می‌شود. پلاژیوکلازها شکل‌دار تا نیمه شکل‌دار بوده و دارای ماکل یا ساختار منطقه‌ای هستند (شکل A-۴). در بعضی از مقاطع، پلاژیوکلازها دارای بافت غربالی بوده و گاهی حاشیه انحلالی نیز دارد (شکل B-۴). فلدسپار پتاسیم (سانیدین) با فراوانی ۱۰ تا ۱۵ درصد و ماکل کارلس‌باد در برخی از نمونه‌ها به کائولینیت تجزیه شده است. در نمونه‌های داسیتی، بلورهای شکل‌دار و نیمه شکل‌دار پلاژیوکلاز بیش از ۴۰ درصد سنگ را تشکیل می‌دهد. کوارتز نیز به صورت درشت‌بلورهای بی‌شکل با خوردگی خلیجی یا در زمینه فلسفیتی وجود دارد و حداقل تا ۱۰ درصد سنگ را تشکیل می‌دهد. همچنین، در زمینه دارای ریزبلورهایی از سانیدین است.

کانی‌های فرومیزین در هر دو دسته سنگ‌های آندزیتی و داسیتی شامل: آمفیبول و بیوتیت (۵ تا ۱۰ درصد) است که به صورت فنوکریست حضور



شکل ۳- (A) نمایی از گنبد داسیتی تریشکوه با رنگ روشن و درزهای انقباضی در سنگ‌های داسیت-آندزیتی میو-پلیوسن شمال شهر بابک؛ (B) نمایی از یک جریان گدازه آندزیتی در توده سارا با ضخامت چندین متر که بر روی ولکانیک‌های ائوسن جریان یافته است.



شکل ۴-۴) پلازیوکلаз با زونیتگ کامل در زمینه ریزبلور و غنی از کوارتز در آندزیت (XPL); (B) حاشیه انحلالی در بلور پلازیوکلاز در یک زمینه میکرولیتی در آندزیت (XPL); (C) اپاسیتیزه شدن آمفیبول و تبدیل آن به کانی های اپاک در داسیت Kretz (XPL); (D) کوارتز درشت با حاشیه صاف و خلیجی و بیوتیت سوخته در داسیت (XPL)، (علایم اختصاری کانی ها از (1983) است).

داسیت-آندرزیتی منطقه در نمودار  $\text{SiO}_2$ - $\text{K}_2\text{O}$  نسبت به در محدوده سری آهکی-قلیایی با پتابسیم متوسط تا پتابسیم بالا واقع می شود (Peccerillo and Taylor, 1976).

در نمودار AFM نیز نمونه های مطالعه شده روند آهکی-قلیایی از خود نشان می دهد (شکل ۷). (Irvine and Baragar, 1971)

الگوی عناصر نادر نمونه ها که نسبت به بازالت پشتہ میان اقیانوسی بهنجار شده است نشان می دهد

### ژئوشیمی

نتایج تجزیه شیمیایی سنگ های منطقه شمال شهر بابک در جدول های ۱ و ۲ آورده شده است. این سنگ ها در نمودار مجموع اکسیدهای قلیایی نسبت به سیلیس (Le Bas *et al.*, 1986) در گستره آندزیت و داسیت قرار می گیرد و در هر سه توode مورد بررسی (ترشکوه، میدوک و شمال کوه سارا) سنگ های داسیتی برتری دارد (شکل ۵). در نمودارهای تعیین سری ماقمایی، سنگ های

بی‌هنگاری منفی مشخصی برای Ti، Nb و وجود Zr دارد که نشانگر تشکیل این سنگ‌ها در یک محیط فرورانشی است (Wilson, 1989; Gill, 1981).

که سنگ‌های مطالعه شده از Pb، K، Ba) LILE و (Th، Sr، Rb، Y، Ta، Nb، Hf) HFSE غنی‌تر از (Zr، Yb) تهی شده‌اند (شکل ۸). در این نمودار

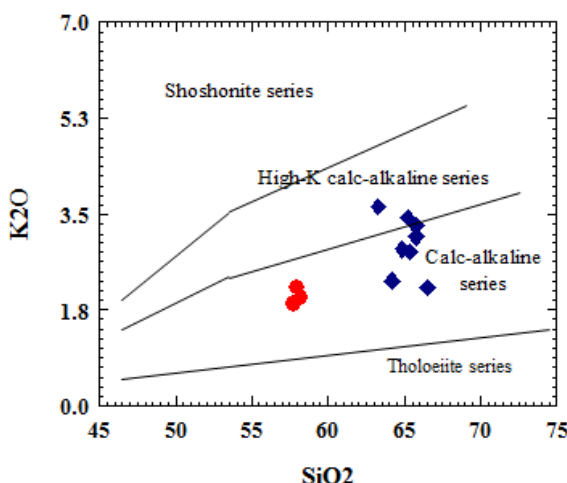
جدول ۱- ترکیب شیمیایی اکسیدهای سنگ‌های داسیت-آندرزیتی میو-پلیوسن شمال شهر بابک که با روش ICP-ME اندازه‌گیری شده است.

	M-17	M-18	M-21	M-22	M-25	S-12
(%wt)	Dacite	Dacite	Dacite	Dacite	Dacite	Dacite
SiO <sub>2</sub>	65.82	64.85	65.18	65.78	63.25	65.4
Al <sub>2</sub> O <sub>3</sub>	16.03	15.95	15.81	16.06	16.02	16.82
CaO	3.55	3.95	3.65	3.42	3.85	3.53
FeO <sub>t</sub>	2.68	3.15	3.12	2.89	3.55	3.62
K <sub>2</sub> O	3.58	2.85	3.45	3.29	3.65	2.8
MgO	0.84	1.95	1.42	1.02	1.85	1.04
MnO	0.05	0.06	0.04	0.05	0.07	0.04
Na <sub>2</sub> O	4.75	4.25	5.12	4.61	4.95	5.01
P <sub>2</sub> O <sub>5</sub>	0.07	0.04	0.18	0.05	0.03	0.06
TiO <sub>2</sub>	0.38	0.41	0.45	0.38	0.45	0.43
LOI	2.36	2.16	1.24	2.0	1.95	1.05
Total	100	99.65	99.55	100	99.87	99.79

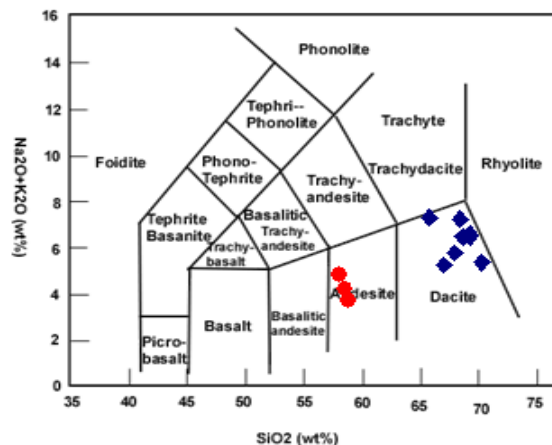
	S-13	T-2	T-5	T-13	T-16	T-20
(%wt)	Dacite	Andesit	Andesit	Dacite	Andesit	Dacite
ادامه جدول ۱						
SiO <sub>2</sub>	64.8	58.25	57.69	66.5	58.01	64.2
Al <sub>2</sub> O <sub>3</sub>	15.95	17.02	16.95	15.8	16.81	16.1
CaO	3.95	6.85	6.91	4.36	7.25	4.87
FeO <sub>t</sub>	4.33	7.11	6.75	3.45	6.55	4.03
K <sub>2</sub> O	2.95	1.98	1.85	2.15	2.15	2.29
MgO	1.01	2.65	2.42	1.33	2.85	1.73
MnO	0.06	0.06	0/0	0.05	0.08	0.06
Na <sub>2</sub> O	4.95	3.13	4.35	4.55	3.44	4.32
P <sub>2</sub> O <sub>5</sub>	0.05	0.37	0.36	0.17	0.24	0.22
TiO <sub>2</sub>	0.42	0.63	0.55	0.35	0.57	0.55
LOI	1.25	1.95	2.13	1.29	2.05	1.72
Total	99.72	100	99.96	100	100	100

جدول ۲- مقادیر عناصر فرعی و نادر خاکی سنگ‌های داسیت-آندزیتی میو-پلیوسن شمال شهر بابک که با روش ICP-MS اندازه‌گیری شده است.

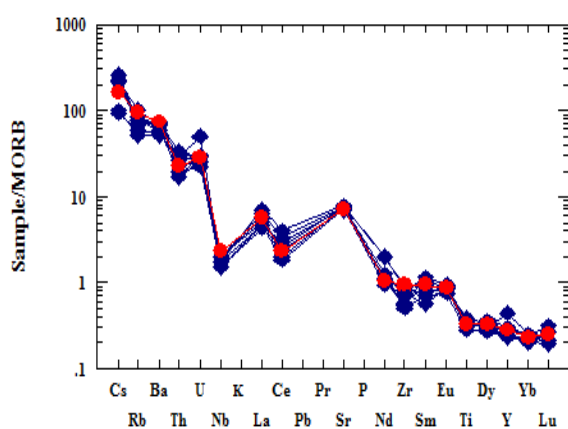
(ppm)	M-17	M-22	M-25	T-5	T-13	T-20	S-12	S-13
Ba	1060	830	950	1050	950	975	730	756
Co	8.1	6.6	7.2	7.1	8.2	9.4	8.8	7.8
Cr	8	6	9	5	4	3	11	9
Cs	2.75	2.9	2.95	2.1	2.75	3.3	1.3	1.2
Cu	15.2	14.8	16.2	38.1	35.2	30.1	42.5	38.5
Ga	19.2	19.9	20.2	18.1	20.2	19.8	21.1	20.19
Ge	1.12	0.95	1.02	1.02	1.11	1.29	0.81	0.95
Hf	1.75	1.87	1.95	1.62	2.25	2.87	3.9	2.2
Mo	0.6	0.4	0.5	1.75	1.65	1.5	0.4	1.21
Nb	7.1	8.7	7.5	8.2	9.1	8.8	8.3	8.7
Ni	10	8	9	8	6	4	9	8
Pb	17.1	14.7	16.2	28.2	31.1	38.6	15.5	14.2
Rb	75.2	85.4	115	105	95	85	56.8	65.2
Sc	6	4	9	7	8	9	6	7
Sr	850	910	890	860	920	895	941	921
Ta	0.5	0.56	0.5	0.56	0.62	0.57	0.57	0.66
Th	6.25	3.58	4.25	4.2	3.1	5.3	5.51	4.95
U	2.2	1.7	1.9	2.1	2.3	3.68	2.22	2.15
V	55	53	65	67	54	46	73	85
Y	9.5	8.4	10.2	9.7	8.3	7.9	10	15
Zn	75	52	68	55.5	63.2	68.5	78.9	75.2
Zr	48	45	51	85	75	66	79	85
Ti	2950	2510	2750	2950	3240	3450	3440	3350
P	980	728	850	1255	1650	1950	1020	1970
La	21.2	17.3	18.5	22.5	20.2	18.3	27.8	25.2
Ce	28.6	30.4	35.2	27.6	24.2	22.3	48.4	39.2
Pr	4.55	3.75	5.25	3.14	2.95	2.58	5.81	6.21
Nd	11.9	15.1	12.2	11.5	12.2	10.5	21.8	22.1
Sm	4.15	2.58	3.3	3.45	2.85	2.04	3.71	3.25
Eu	1.25	0.98	1.12	1.14	1.11	1.13	1.16	1.11
Gd	5.1	3.12	4.75	4.95	4.25	3.81	4.21	3.95
Tb	0.51	0.33	0.49	0.32	0.28	0.29	0.37	0.32
Dy	1.85	1.68	2.15	1.95	1.85	1.62	1.99	1.75
Ho	0.45	0.33	0.29	0.29	0.25	0.21	0.34	0.31
Er	1.25	0.81	0.95	0.95	0.91	0.86	0.6	0.8
Tm	0.12	0.14	0.11	0.13	0.11	0.1	0.12	0.11
Yb	0.95	0.79	0.85	0.85	0.82	0.75	0.94	0.96
Lu	0.12	0.15	0.18	0.14	0.12	0.11	0.12	0.11
Th/Ce	0.22	0.12	0.12	0.15	0.13	0.24	0.11	0.13
Nb/Zr	0.15	0.12	0.12	0.1	0.09	0.08	0.08	0.08
Ba/Ta	785	522	655	795	826	755	598	560
Ba/Nb	149	156	153	128	133	183	119	105
Sr/Ce	29.7	29.9	25.3	31.1	38	40.4	15.3	23.4



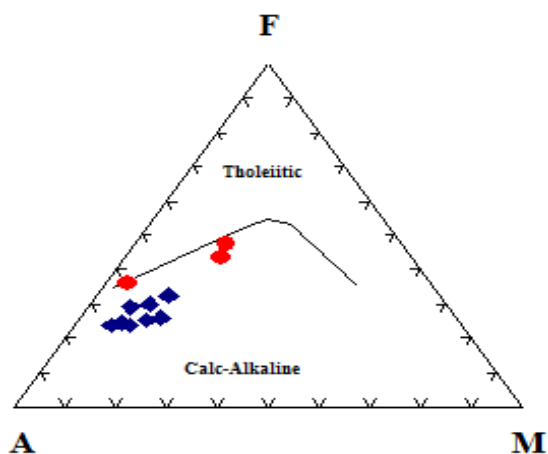
شکل ۶- نمودار  $\text{SiO}_2$  در مقابل  $\text{K}_2\text{O}$  و موقعیت سنگ‌های داسیت-آنزیتی میو-پلیوسن شمال شهر بابک در گستره آهکی-قلیایی تا آهکی-قلیایی پتانسیم بالا (Peccerillo and Taylor, 1976). (نشانه‌ها مانند شکل ۵).



شکل ۵- نامگذاری سنگ‌های آتشفشاری میو-پلیوسن شمال شهر بابک در نمودار مجموع اکسیدهای قلیایی نسبت به سیلیس (Le Bas et al., 1986) ◆ داسیت، ● آنزیت.



شکل ۸- نمودار عنکبوتی عناصر نادر سنگ‌های داسیت-آنزیتی میو-پلیوسن شمال شهر بابک نسبت به بازالت پشتہ میان اقیانوسی (داده‌های MORB از Sun and McDonough, 1989) (نشانه‌ها مانند شکل ۵).



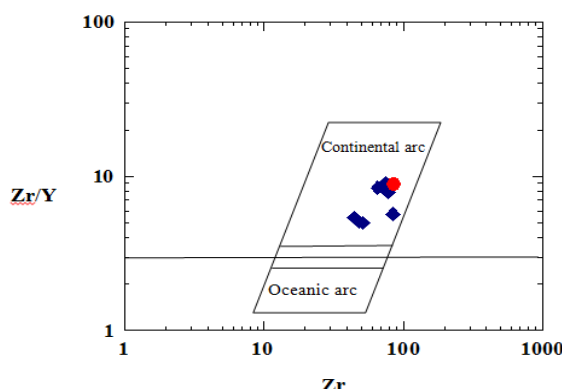
شکل ۷- نمودار (Irvine and Baragar, 1971) AFM و موقعیت سنگ‌های داسیت-آنزیتی میو-پلیوسن شمال شهر بابک در سری کالک‌آلکالن (نشانه‌ها مانند شکل ۵).

منشأ است (شکل ۹). البته سنگ‌های داسیتی، غنی‌شدگی بیشتری در عناصر نادر خاکی سبک نسبت به سنگ‌های آنزیتی از خود نشان می‌دهد که مربوط به تفریق بیشتر سنگ‌های داسیتی است.

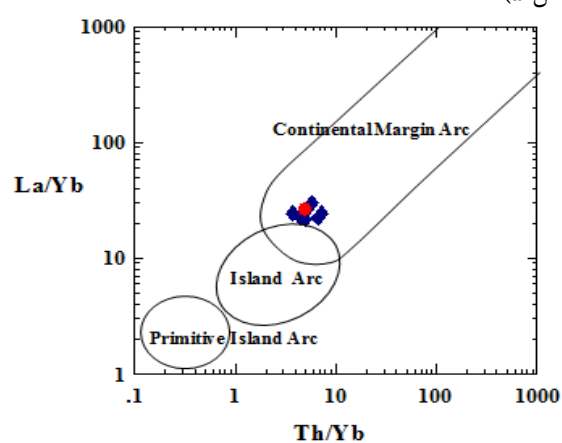
برای تعیین جایگاه زمین‌ساختی از نمودار  $\text{Zr}$

نتایج حاصل از داده‌های عناصر نادر خاکی سنگ‌های داسیت-آنزیتی منطقه که با کندریت بهنجار شده‌اند، نشانگر غنی‌شدگی از عناصر نادر خاکی سبک، تهی‌شدگی از عناصر نادر خاکی سنگین و بدون بی‌هنچاری منفی یوروپیوم است که مؤید حضور گارنت و نیوبو پلازیو کلاز در ناحیه

طرف دیگر، Fitton و همکاران (۱۹۹۵) عنوان کردند که مقادیر بالاتر از ۲۸ در نسبت Ba/Nb و بالاتر از ۴۵۰ در نسبت Ba/Ta نشان‌دهنده محیط حاشیه فعال قاره‌ای است. نسبت Ba/Nb و سنگ‌های مطالعه شده به ترتیب بالاتر از ۱۰۵ و ۵۲۲ است (جدول ۲). بنابراین، سنگ‌های داسیت-آنذیتی مطالعه شده در یک محیط حاشیه فعال قاره‌ای متعلق به پهنه‌های فرورانشی شکل گرفته‌اند.

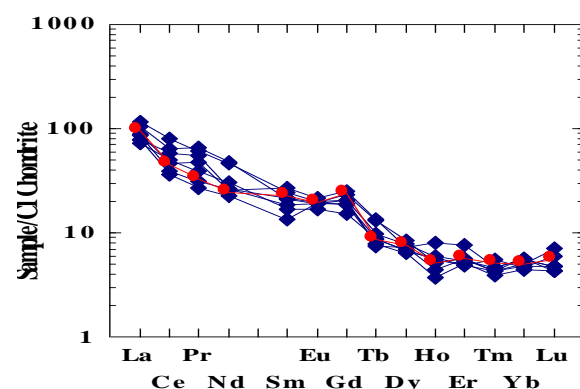


شکل ۱۰- نمودار Zr/Y در مقابل Zr (Pearce *et al.*, 1989) که محیط فرورانشی حاشیه قاره‌ای را از کمان‌های اقیانوسی جدا می‌کند. سنگ‌های داسیت-آنذیتی میو-پلیوسن شمال شهر بابک در حاشیه فعال قاره‌ای قرار می‌گیرد (نشانه‌ها مانند شکل ۵).



پایین Y و میزان HREE ( $Y<13$ ,  $Yb<1.4$ ) و میزان Sr ( $(La/Yb)_N>12$ ,  $Sr>400$ ) با، Ba/La هستند و ویژگی‌های آداسیتی را دارند

در مقابل Zr/Y (Pearce *et al.*, 1989) استفاده شد که نمونه‌های مطالعه شده در محیط حاشیه فعال قاره‌ای قرار گرفت (شکل ۱۰). همچنین، در نمودار La/Yb در مقابل Th/Yb از Condie, 1989) که محیط‌های حاشیه فعال قاره‌ای بالغ را از محیط‌های قوسی اقیانوسی و کمان‌های اولیه جدا می‌کند، نمونه‌های مطالعه شده در موقعیت قوس‌های ماگمایی قاره‌ای بالغ قرار می‌گیرد (شکل ۱۱). از



شکل ۹- نمودار عنکبوتی عناصر نادر خاکی سنگ‌های داسیت-آنذیتی میو-پلیوسن شمال شهر بابک بهنجار شده نسبت به کندریت (Sun and McDonough, 1989) (نشانه‌ها مانند شکل ۵).

شکل ۱۱- نمودار La/Yb در مقابل Th/Yb که جدا کننده قوس‌های اولیه از جزایر قوسی بالغ و کمان‌های حاشیه قاره‌ای است (Condie, 1989). سنگ‌های داسیت-آنذیتی میو-پلیوسن شمال شهر بابک در محیط حاشیه قاره‌ای قرار گرفته‌اند (نشانه‌ها مانند شکل ۵).

**بحث**  
سنگ‌های آتشفشاری و توده‌های نیمه عمیق شهر بابک دارای  $MgO<3\%$ ,  $SiO_2>57\%$ , میزان

در صد سیلیس دارد و نسبت La/Yb و Sr/Y در آنها بالاتر است (به ترتیب ۱۰۰ تا ۳۰۰ و ۴۰ تا ۸۰). بررسی‌های تجربی (Rapp *et al.*, 2007) بیانگر آن است که ذوب گوشته دگرنهاد شده (مخلوطی از پریدوتیت+آداسیت) ماغماهای مشابه با ویژگی‌های ژئوشیمیایی آداسیت‌های کم سیلیس (LSA) به وجود می‌آورد. علاوه بر نشانه‌های بالا، اختلافات ژئوشیمیایی بارزی میان دو گروه آداسیت‌های پر سیلیس و آداسیت‌های کم سیلیس در نمودارهای بهنجار شده به کندریت وجود دارد. آداسیت‌های کم سیلیس الگوی REE تفریق یافته‌تری را نسبت به آداسیت‌های پر سیلیس نشان می‌دهد. همچنین، آداسیت‌های پر سیلیس نسبت‌های بالاتری از La/Yb و Sr/Y نسبت به آداسیت‌های کم سیلیس دارد. از سوی دیگر، آداسیت‌های پر سیلیس الگوی HREE مقعری را نسبت به آداسیت‌های کم سیلیس به نمایش می‌گذارد. به طوری که نسبت Yb/Lu در آداسیت‌های کم سیلیس حدود ۱۰ و در آداسیت‌های پر سیلیس حدود ۵ گزارش شده است (Moyen, 2009).

آداسیت‌های قاره‌ای یا پتاسی، طیف گستردگی از سیلیس (کمتر از ۶۰ درصد تا بیش از ۷۵ درصد) دارد و میزان Y و Yb آنها پایین است اما همیشه نسبت Sr/Y (۱۵ تا ۱۵۰) و La/Yb بالایی را نشان نمی‌دهد. این آداسیت‌ها میزان  $K_2O$  بالایی دارد.

آداسیت‌های آرکئن که بر اثر فروزانش گرم و از ذوب قطعه فروزانده حاصل شده‌اند، در کمریند گرینستون مشاهده می‌شوند و عمولاً فلزیک بوده و میزان  $Na_2O$  بالا و  $K_2O$  پایینی دارد و نسبت Y/Sr بالایی را نشان می‌دهند. بنابراین، تحت عنوان آداسیت معرفی شده‌اند (Moyen,

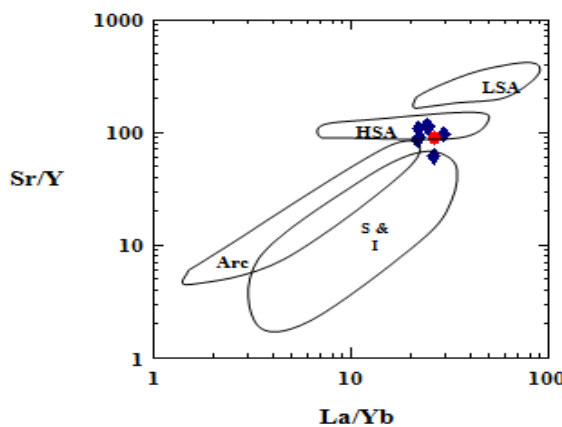
Stern and Defant and Drummond, 1993) (Kilian, 1996). برای مثال در نمودار Y/Sr نسبت به (Defant and Drummond, 1993) آداسیت‌ها را از دیگر ماغماهای تشکیل شده در نواحی فروزانش کلاسیک تفکیک می‌کند، نمونه‌های مورد بررسی در گستره آداسیت‌ها واقع شده‌اند (شکل ۱۲).

به عقیده Defant و Drummond (۱۹۹۰) ماغماهای آداسیتی از ذوب پوسته اقیانوسی گرم و جوان ریشه می‌گیرند. در حالی که پژوهشگران دیگر عقیده دارند که آداسیت‌ها می‌توانند از راههای دیگری نیز تشکیل شوند که عبارتند از: (الف) جدایش ماغماهای (Castillo *et al.*, 1999) (ب) ذوب پریدوتیت آبدار (Stern and Hanson, 1991؛ ۱۹۹۱)، (ج) آمیزش ماغمای (Martin *et al.*, 2005) (Guo *et al.*, 2007) بازالتی با ماغمای فلزیک مشتق از پوسته قاره‌ای (D and et al., 2007) و (د) ذوب بخشی پوسته قاره‌ای پایینی ضخیم همگن شده (Xu *et al.*, 2002) (Guo *et al.*, 2007). برای تعیین خاستگاه دقیق این سنگ‌ها لازم است ویژگی‌های ژئوشیمیایی آداسیت‌ها به تفصیل مورد بررسی قرار گیرد.

آداسیت‌ها به چهار گروه تقسیم شده‌اند: آداسیت‌های پر سیلیس (HSA)، آداسیت‌های کم سیلیس (LSA)، آداسیت‌های قاره‌ای یا پتاسی و آداسیت‌های آرکئن (Moyen, 2009). آداسیت‌های پر سیلیس (HSA) دارای  $MgO > 3\%$ ،  $SiO_2 > 56\%$ ،  $La_N/Yb_N > 10$ ،  $SiO_2 > 56\%$  و  $Sr/Y > 40$ ،  $Sr > 400$  و میزان پایین ( $Y < 18$ ) و  $Yb < 19$  بوده و با آداسیت‌های پیشنهاد شده توسط Defant و Drummond (۱۹۹۰) همخوانی دارد. این آداسیت‌ها بر اثر ذوب بخشی متابالات‌ها در گستره پایداری گارنت تشکیل می‌شود. آداسیت‌های کم سیلیس (LSA) (۵۰ تا

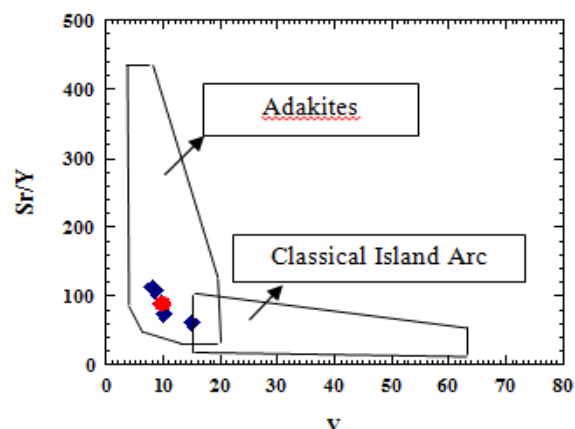
## نمونه‌ها در گستره آداسیت‌های HSA قرار گرفته‌اند (شکل ۱۳).

از طرف دیگر، نمونه‌های بررسی شده در نمودارهای عناصر کمیاب و نادر خاکی بهنجار شده به گوشه اولیه و کندربیت، بی‌亨جاري منفی شده با  $\text{Eu}/\text{Ba}$ ،  $\text{P}/\text{Eu}$  و  $\text{Sr}/\text{Eu}$  نشان نمی‌دهد و بنابراین، منشأ پوسته قاره‌ای تحتانی برای این سنگ‌ها مردود است. زیرا نبود بی‌亨جاري منفی در عناصر  $\text{Ba}/\text{Eu}$ ،  $\text{P}/\text{Eu}$  و  $\text{Sr}/\text{Eu}$  بیانگر عدم جدایش بلورین یا ذوب (Chappell and White, 1992; Pi-Piper *et al.*, 2002) است. از طرف دیگر، گدازه‌های حاصل از پوسته فرورونده یا رسوب‌های فرورانده، نسبت بالایی از  $\text{Th}/\text{Ce} > 0.12$  و  $\text{Nb}/\text{Zr} > 0.05$  (Hawkesworth *et al.*, 1997) را دارد، که در نمونه‌های مطالعه شده نسبت  $\text{Nb}/\text{Zr} > 0.08$  و  $\text{Th}/\text{Ce} > 0.12$  محاسبه شده است که بیانگر نقش پوسته فرورونده در تشکیل مagma می‌سنگ‌های مطالعه شده است.



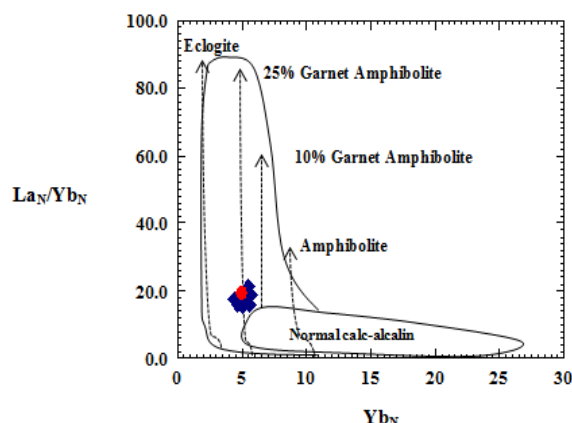
شکل ۱۳- نمودار تغییرات  $\text{La}/\text{Yb}$  نسبت به  $\text{Sr}/\text{Y}$  و تفکیک آداسیت‌های کم سیلیس، پر سیلیس و آرکن (Moyen, 2009) سنگ‌های داسیت-آندرزیتی میو-پلیوسن شمال شهر بابک در محدوده آداسیت‌های پر سیلیس قرار گرفته‌اند، (نشانه‌ها مانند شکل ۵).

2009) سنگ‌های آتشفسانی و توده‌های نیمه عمیق شمال شهر بابک ویژگی‌های ژئوشیمیایی مشابه با آداسیت‌های پر سیلیس (HSA) را دارا هستند. زیرا میزان سیلیس آنها بیشتر از ۵۶ درصد است. الگوی REE آنها جدایش شدیدی نشان نمی‌دهد. اما الگوی HREE مقعری را به نمایش می‌گذارد و میزان  $\text{Yb}/\text{Lu}$  حدوداً برابر ۵ به دست آمده که با آداسیت‌های پر سیلیس همانگی بیشتری دارد. علاوه بر نشانه‌های بالا، نسبت پایین  $\text{K}_2\text{O}/\text{Na}_2\text{O}$  (با میانگین ۰/۴۲) آنها اختلاف فاحشی را با آداسیت‌های قاره‌ای به نمایش می‌گذارد. همچنین، میزان بالای  $\text{Sr}/\text{Y}$  نسبت به  $\text{La}/\text{Yb}$  با مagmaهای آهکی-قلیایی جدایشی سازگاری ندارد. نمونه‌های منطقه شمال شهر بابک در نمودار  $\text{La}/\text{Yb}$  نسبت به  $\text{Sr}/\text{Y}$  که گستره وابسته به نواحی فرورانش بهنجار، آداسیت‌های پر سیلیس (HSA)، آداسیت‌های کم سیلیس (LSA) و آداسیت‌های آرکن را از هم جدا می‌کند (Moyen, 2009).



شکل ۱۴- نمودار  $\text{Y}$  نسبت به  $\text{Sr}/\text{Y}$  برای جدایش سنگ‌های آهکی-قلیایی عادی از آداسیت‌ها و موقعیت سنگ‌های داسیت-آندرزیتی میو-پلیوسن شمال شهر بابک (Defant and Drummond, 1993) (نشانه‌ها مانند شکل ۵).

M. Teklay and and Drummond, 1990  
Mezger, 2001. برپایه مطالعات Paul و همکاران (۲۰۰۶) عمق موهو از ۴۵ کیلومتر در صفحه عربی تا ۷۰ کیلومتر در زاگرس جنوبی، مقطع انار در پهنه سندنج-سیرجان محاسبه شده است. اما در زیر کمربند ماقمایی ارومیه-دختر و در نزدیکی منطقه مطالعه شده (انار) با یک کاهش ناگهانی به ۴۲ کیلومتر می‌رسد (Paul *et al.*, 2006) و این مطلب با دگرگونی پوسته قاره‌ای تحتانی، ذوب و تولید ماقمایی آداسیتی سازگار نیست. با استناد به داده‌های ژئوشیمیایی ارایه شده در این پژوهش و مطالعات ژئوفیزیکی Paul و همکاران (۲۰۰۶) در رابطه ضخامت پوسته در زیر کمربند ماقمایی (Agard, 2011) ارومیه-دختر و ادامه فرورانش در نئوژن et al., 2011 خاستگاه سنگ‌های داسیت-آندرزیتی نئوژن غرب آتشفشار مزاحم گارنت-آمفیبولييت به همراه یک فاز تیتانیومدار است. این سنگ منشأ می‌تواند در اثر فرورانش لیتوسфер اقیانوسی نئوتیس یا قطعه جدا شده و فرو رفته آن در اعماق، تولید شده باشد. این مدل برای تولید ماقمایی آداسیتی پر سیلیس در دیگر بخش‌های کمربند ماقمایی ارومیه-دختر (Ghadami *et al.*, 2007; Jahangiri, 2008; Omrani *et al.*, 2008 مشابه در مناطق دیگری از ایران (Nasrabady, 2011) ارایه شده است.



برای تعیین خاستگاه دقیق سنگ‌های آتشفشاری و تودهای نیمه عمیق از نمودار پیشنهادی مرجع Defant and Drummond, 1993 نیز استفاده شد. در این نمودار، نمونه‌های مورد بررسی در گستره گارنت-آمفیبولييت (با ۲۵ درصد گارنت) واقع شده‌اند (شکل ۱۴) و شاید ذوب بخشی آمفیبولييت گارنت‌دار خاستگاه اصلی ماقمایی آداسیتی تودهای نئوژن تریشکوه، میدوک و شمال کوه سارا در غرب آتشفشار مزاحم باشد.

در آداسیت‌های پر سیلیس بر اثر ذوب در فشارهای بالا، بر جامانده اکلوژیتی با کانی‌های گارنت، کلینوپیروکسن و روتنیل ایجاد می‌شود. ماقمایی در حال تعادل با منشأ اکلوژیتی میزان Nb/Ta بالاتری را به علت حضور روتنیل نسبت به (Foley *et al.*, 2000; Schmidt *et al.*, 2004; Foley *et al.*, 2004) میانگین این نسبت در نمونه‌های مورد بررسی حدود ۵/۵ است که با منشأ آمفیبولييتی همانگی بیشتری دارد. از طرف دیگر، سنگ‌های فلسيک و حد واسطی که با گارنت در حال تعادل باشد، دارای ويزگی‌های ژئوشیمیایی همچون: میزان بالای  $\text{Al}_2\text{O}_3$ ,  $\text{Sr}/\text{Y}$  و  $\text{Ga}$ ,  $\text{Lu}$  پایین، الگوی REE پرشیب و فاقد بی‌هنجری منفی Eu هستند که بر اثر ذوب لیتوسfer فرورونده یا ذوب بخشی گرانولیت پوسته پایینی مشتق می‌شود (Defant, 1993).

شکل ۱۴- نمودار  $\text{La}_\text{N}/\text{Yb}_\text{N}$  نسبت به  $\text{Yb}_\text{N}$  بهنجار شده با کندریت (Defant and Drummond, 1993) و موقعیت سنگ‌های داسیت-آندرزیتی میو-پلیوسن شمال شهر بابک در محدوده گارنت-آمفیبولييت. (نشانه‌ها مانند شکل ۵).

## نتیجه‌گیری

نمودارهای جدا کننده آداسیت‌ها از سنگ‌های کالک‌آلکالن در گستره آداسیت قرار می‌گیرد. با توجه به مقادیر استرانسیوم، سیلیس، ایتریوم و عناصر نادر خاکی سنگین، نبود بی‌هنجری منفی اوروبیوم، الگوی عناصر نادر و نمودارهای تعیین کننده موقعیت آداسیت‌ها، سنگ‌های آتشفسانی میو-پلیوسن شمال شهر بابک از نوع آداسیت‌های پر سیلیس هستند. با استناد به داده‌های ژئوشیمیایی، خاستگاه این سنگ‌ها گارنت-آمفیبیولیت با فاز باقی‌مانده گارنت و آمفیبیول به همراه یک فاز تیتانیوم‌دار است. سنگ منشأ گارنت-آمفیبیولیت شاید در اثر ادامه فرورانش لیتوسفر اقیانوسی نشوتنیس یا قطعه جدا شده آن به وجود آمده و ذوب آن در میو-پلیوسن باعث تولید ماغمای آداسیتی پر سیلیس کرده باشد و پس از صعود باعث تشکیل سنگ‌های داسیت-آندرزیتی در منطقه شمال شهر بابک شده است.

## سپاسگزاری

نگارنده‌گان این پژوهش از معاونت پژوهشی دانشگاه هرمزگان به دلیل تأمین بخشی از هزینه‌های این پژوهش کمال تشكر و قدردانی را دارند.

سنگ‌های آتشفسانی میو-پلیوسن شمال شهر بابک شامل: آندزیت و داسیت با بافت پوروفیری، هیالوپوروفیری و تراکیتی پوروفیری هستند. درشت‌بلورها در هر دو دسته سنگ‌ها شامل: پلازیوکلаз، سانیدین، آمفیبیول، بیوتیت و کوارتز است که درون زمینه‌ای مخفی‌بلور تا ریز‌بلور قرار دارد. در نمودارهای تعیین سری ماقمایی، سنگ‌های مطالعه شده ماهیت آهکی-قلیایی دارد و الگوی تغییرات عناصر کمیاب و نادر خاکی بهنجرار شده به کندریت و گوشته اولیه در آنها نشان‌دهنده غنی‌شدنی این سنگ‌ها از LREE و HFSE، تهی‌شدنی آنها از HREE و LILE وجود بی‌هنجری منفی Nb و Ti در این سنگ‌ها است. نسبت بالای Ba/Nb و Ba/Ta در کنار موقعیت نمونه‌ها روی نمودارها گویای شکل‌گیری سنگ‌های مورد بررسی در محیطی وابسته به فرورانش در حاشیه فعال قاره‌ای است. از طرف دیگر، سنگ‌های مطالعه شده دارای مقادیر بالاتری از La/Yb، Sr/Y و مقادیر پایین‌تری از Y, MgO و Yb نسبت به سنگ‌های آتشفسانی آهکی-قلیایی معمولی هستند. این سنگ‌ها در

## منابع

- Alavi, M. (1994) Tectonics of Zagros orogenic of Iran, new data and interpretation. *Journal of Tectonophysics* 229: 211-238.
- Annen, C., Blundy, J. D. and Sparks, R. S. J. (2006) The genesis of intermediate and silicic magmas in deep crustal hot zones. *Journal of Petrology* 47: 505-539.
- Agard, P., Omrani, J., Jolivet, L., Whitechurch, H., Vrielynck, B., Spakman, W., Monie, P., Meyer, B. and Wortel, R. (2011) Zagros orogeny: a subduction-dominated process. *Geology Magazines* 10: 1-34.
- Berberian, F. and Berberian, M. (1981) Tectono-plutonic episodes in Iran. In: Zagros, Hindokosh, Himalaya Geodynamic Evolution (Eds. Gupta, H. K. and Delany, F. M.) 5-32. *Journal of American Geophysical Union*, Washington.
- Castillo, P. R., Janney, P. E. and Solidum, R. U. (1999) Petrology and geochemistry of Camiguin Island, southern Philippines: insights to the source of adakites and other lavas in a complex arc setting. *Contributions to Mineralogy and Petrology* 134: 33-51.

- Chappell, B. W. and White, A. J. R. (1992) I and S-type granites in the Lachlan Fold Belt, Tran. Researche Society of Edinberg. *Journal of Earth Sciences* 83: 1-26.
- Condie, K. C. (1989) Geochemical changes in basalts and andesites across the Archean-Proterozoic boundry: identification and significances. *Lithos* 23: 1-18.
- Defant, M. J. and Drummond, M. S. (1990) Derivation of some modern arc magmas by melting of young subducted lithosphere. *Nature* 374: 662-665.
- Defant, M. J. and Drummond, M. S. (1993) Mount St. Helens: potential example of the partial melting of the subducted lithosphere in a volcanic arc. *Journal of Geology* 21: 547-550.
- Djokovic, I. Cvetic, S. and Dimitrijevic, M. D. (1973) Geological Quadrangle Map of Dehaj 1:100000, Sheet 6950, Geological Survey of Iran, Tehran.
- Elburg, M. A., Bergen, M. V., Hoogewerff, J., Foden J., Vroon, P., Zulkarnain, I. and Nasution A. (2002) Geochemical trends across an arc-continent collision zone: magma sources and slab-wedge transfer processes below the Pantar Strait volcanoes, Indenosa. *Geochemica et Cosmochimica Acta* 66: 2771-2789.
- Fitton, J. G., James, D., Kempton, P. D., Ormerod, D. S. and Leeman, W. P. (1995) The role of lithospheric mantle in the generation of late Cenozoic basic magmas in the western United States. *Journal of Petrology*, Special lithosphere issue: 331-349.
- Foley, S. F., Barth, M. G. and Jenner, G. A. (2000) Rutile/melt partition coefficients for trace elements and an assessment of the influence of rutile on the trace element characteristics of subduction zone magmas. *Geochemica et Cosmochimica Acta* 64: 993-938.
- Foley, S., Tiepolo, M. and Vannucci, R. (2004) Growth of early continental crust controlled by melting of amphibolite in subduction zones. *Nature* 417: 832-840.
- Ghadami, G. R., Shahre-Babaki, A. and Mortazavi, M. (2008) Post-collisional Plio-Pleistocene adakitic volcanism in Central Iranian volcanic belt: geochemical and geodynamic implications. *Journal of Sciences Islamic Republic of Iran* 19: 223-235.
- Ghasemi, A. and Talbot, C. J. (2005) A new tectonic scenario for the Sanandaj-Sirjan zone (Iran). *Journal of Asian Earth Sciences* 26:683-693.
- Gill, J. B. (1981) Orogenic andesites and plate tectonic. Springer, Verlag, Berlin.
- Guo, F. Nakamuru, E. Fn. W. and Kobayoshi, K. Li. C. (2007) Generation of Palaeocene adakitic andesites by magma mixing: Yanji Area, NE China. *Journal of Petrology* 48: 661-692.
- Hawkesworth, C. J. Turner, S. P. Mc Dermott, F. and Calsteren, P. (1997) U-Th isotopes in arc magmas: implications for element transfer from the subducted crust. *Journal of Science* 276: 551-555.
- Irvine, T. N. and Baragar, W. R. A. (1971) A guide to the chemical classification of common volcanic rocks. *Canadian Journal of Earth Sciences* 8: 523-548.
- Jahangiri, A. (2007) Post-collisional Miocene adakitic volcanism in NW Iran: geochemical and geodynamic implications. *Journal of Asian Earth Sciences* 30: 433-447.
- Keskin, M. (2003) Magma generation by slab steeping and break-off beneath a subduction accretion complex: an alternative model for collision related volcanism in eastern Anatolia, Turkey. *Journal of Geophysical Research Letters* 30: 80-46.
- Kretz, R. (1983) Symbols for rock-forming minerals. *American Mineralogist* 68: 277-279.
- Le Bas, M., Le maitre, R. W., Streckeisen, A. and Zanettin, B. (1986) A chemical classification of volcanic rocks based on the total alkali-silica diagram. *Journal of Petrology* 27: 745-750.

- Moyen, J. F. (2009) High Sr/Y and La/Yb ratios: the meaning of the adakitic signature. *Lithos* 112: 556-574.
- M. Teklay Kroner, A. and Mezger, K. (2001) Geochemistry, geochronology and isotope geology of Nakfa intrusive rocks, northern thickened Neoproterozoic arc crust. *Journal of African Earth Sciences* 33(2): 283-301.
- Martin, H., Smithies, R. H., Rapp, R. P., Moyen, J. F. and Champion, D.C. (2005) An overview of adakite, tonalite-trondhjemite-granodiorite (TTG) and sanukitoid: relationships and some implications for crustal evolution. *Lithos* 79(1-2): 1-24.
- Nasrabad, M. (2011) Genesis of unusual mineral assemblage in the trondhjemites of Soltan Abad area (NE Sabzevar): evidences of crystallization and emplacement conditions of magma. *Petrology* 2(5): 113-132 (in Persian).
- Omrani, J., Agard, P., White church, H., Benoit, M., Prouteau, G. and Jolivet, L. (2008) Arc-magmatism and subduction history beneath the Zagros mountainations, Iran: a new report of adakites and geodynamic Consequences. *Lithos* 106: 380-398.
- Pearce, J. A., Harris, N. B. W. and Tindle, A. G. (1989) Trace element discrimination diagrams for the tectonic interpretation of granitic rocks. *Journal of Petrology* 25: 956-983.
- Peccerillo, A. and Taylor, S. R. (1976) Geochemistry of Eocene calc-alkaline volcanic rocks from the kastamonu area, northern Turkey. *Contributions to Mineralogy and Petrology* 58: 63-81.
- Pi-Piper, G., Piper, D. J. W. and Matarangas, D. (2002) Regional implications of geochemistry and style of emplacement of Miocene I-type diorite and granite, Delos, Cyclades, Greece. *Lithos* 60: 47-66.
- Paul, A., Kaviani, A., Hatzfeld, D., Verjene, J. R. M. and Mokhtari, M. (2006) Seismological evidence for crustal scale thrusting in the Zagros mountain belt (Iran). *Geophysical Journal International* 166: 227-237.
- Rapp, R., Yaxley, G., Norman, M. D. and Shimizu, N. (2007) Comprehensive trace element characteristics of experimental TTG and sanukitoid melts. In:Proceeding of the 6th International Hutton Conference on the origin of granitic rocks, Stellenbosch, South Africa.
- Schmidt, M. W., Dardon, A., Chazote, G. and Vannucci, R. (2004) The dependence of Nb and Ta rutile-melt partitioning on melt composition and Nb/Ta fractioning during subduction processes. *Earth and Planetary Science Letters* 226: 415-432.
- Stern, R. A. and Hanson, G. N. (1991) Archean high-Mg granodiorite: a derivative of light rare earth element enriched monzodiorite of mantle origin. *Journal of Petrology* 32: 201-238.
- Stern, C. R. and Kilian, R. (1996) Role of the subducted slab, mantle wedge and continental crust in the generation of adakites from the Andean austral volcanice zone. *Contributions to Mineralogy and Petrology* 123: 263-281.
- Sun, S. S. and Mc Donough, W. F. (1989) Chemical and isotopic systematic of oceanic basalts: implication for mantle composition and processes. In: *Magmatism in the ocean basins* (Eds. Sandres, A. D. and Norry, M. H.) 42: 313-345. Geological Society, London.
- Vroon, P. Z., Van Bergen, M. J., White, W. M. and Varekamp, J. C. (1993) Sr-Nd-Pb isotope systematics of the Banda arc, Indenosa: combined subduction and assimilation of continental material. *Geophysic Researches* 98: 22349-22366.
- Wilson, M. (1989) Igneous petrogenesis a global tectonic approach. 1<sup>st</sup> edition, Unwin and Hyman London.
- Xu, J. F., Shinjo, R., Defant, M. J., Wang, Q. and Rapp, R. P. (2002) Origin of Mesozoic adakitic intrusive rocks in the Ningzhen area of China : partial melting of delaminated lower continental crust. *Journal of Geology* 30: 1111-1114.

## Petrography and geochemistry of Mio-Pliocene volcanic masses in the north of Shahre-Babak, insight on neogene adakitic magmatism

Gholamreza Ghadami \*, Sara Ebadi and Mohammad Poosti

Department of Geology, Faculty of Sciences, Hormozgan University, Bandar Abass, Iran

### Abstract

The Mio-Pliocene volcanic rocks are exposed in the north and the northwest of Shahre-babak (Trishkuh, Miduk and Sara masses) Kerman province. These rocks formed a part of Uromieh-Dokhtar magmatic belt and consist of andesites and dacites. The rocks studied have porphyritic texture and Phenocrysts with plagioclase, sanidine, amphibole, biotite and quartz. Based on geochemical data and multielements pattern, these rocks are medium to high K calc-alkaline suite and show LILE and LREE enriched normalized multi-element patterns, and Nb and Ti depleted. Chondrite normalized REE patterns of the studied volcanic rocks display a decrease from LREE to HREE without any Eu anomaly and formed in subduction zone in an active continental margin. They have higher SiO<sub>2</sub>, Sr content, Sr/Y and La/Yb ratios and lower MgO, Y and Yb contents in compare to those of normal calc-alkaline volcanic rocks and show characteristics of HSA (high SiO<sub>2</sub> adakites). HREE and Y depleted patterns suggest the existence of garnet and amphibole as a residue in the source. The source of these rocks was probably garnet-amphibolite possibly generated during subduction of the Neo-Tethyan oceanic slab beneath the Central Iran zone.

**Key words:** Geochemistry, Dacite-andesite, Mio-Pliocene, Adakite, Shahre-Babak, Uromieh-Dokhtar magmatic belt

---

\* [ghadami@hormozgan.ac.ir](mailto:ghadami@hormozgan.ac.ir)